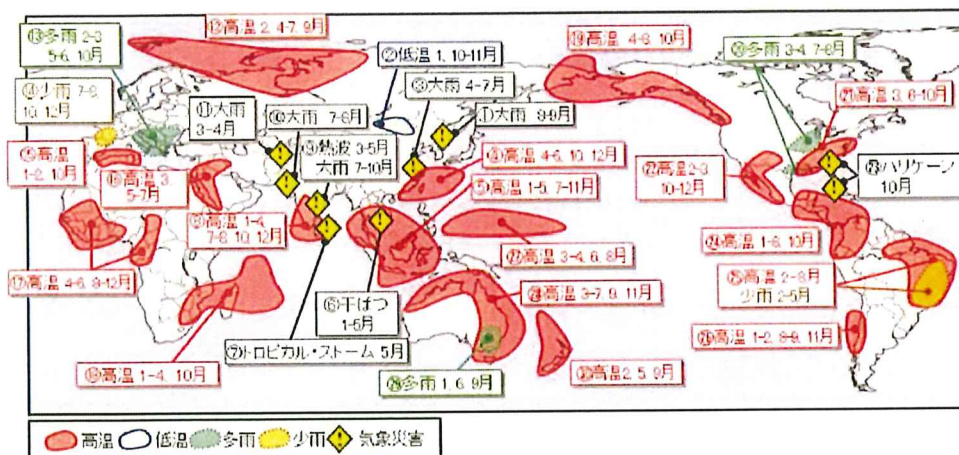


世界の年ごとの異常気象 ----- 対象期間： 2016年 ▼

主な天候の特徴・気象災害



概況

年平均気温は、世界の多くのところで平年より高く、東シベリア南西部やアルゼンチン北部の一部地域などで平年より低かった。特に低緯度域では、ほぼ年間を通じて異常高温が持続した。また、中央シベリア北部からスバルバル諸島、東シベリア東部からカナダ西部沿岸、オーストラリア北部から南東部などでは異常高温となる月が多かった。

年降水量は、中国東部、モンゴル、中央アジア、ヨーロッパ南東部、インドネシア、アルゼンチン南部などで平年より多く、ブラジル東部、チリ南部などでは平年より少なかった。ヨーロッパ南東部、米国中西部から南部、オーストラリア南東部では異常多雨となる月が多く、フランス南西部からスペイン北東部、ブラジル東部では異常少雨となる月が多かった。

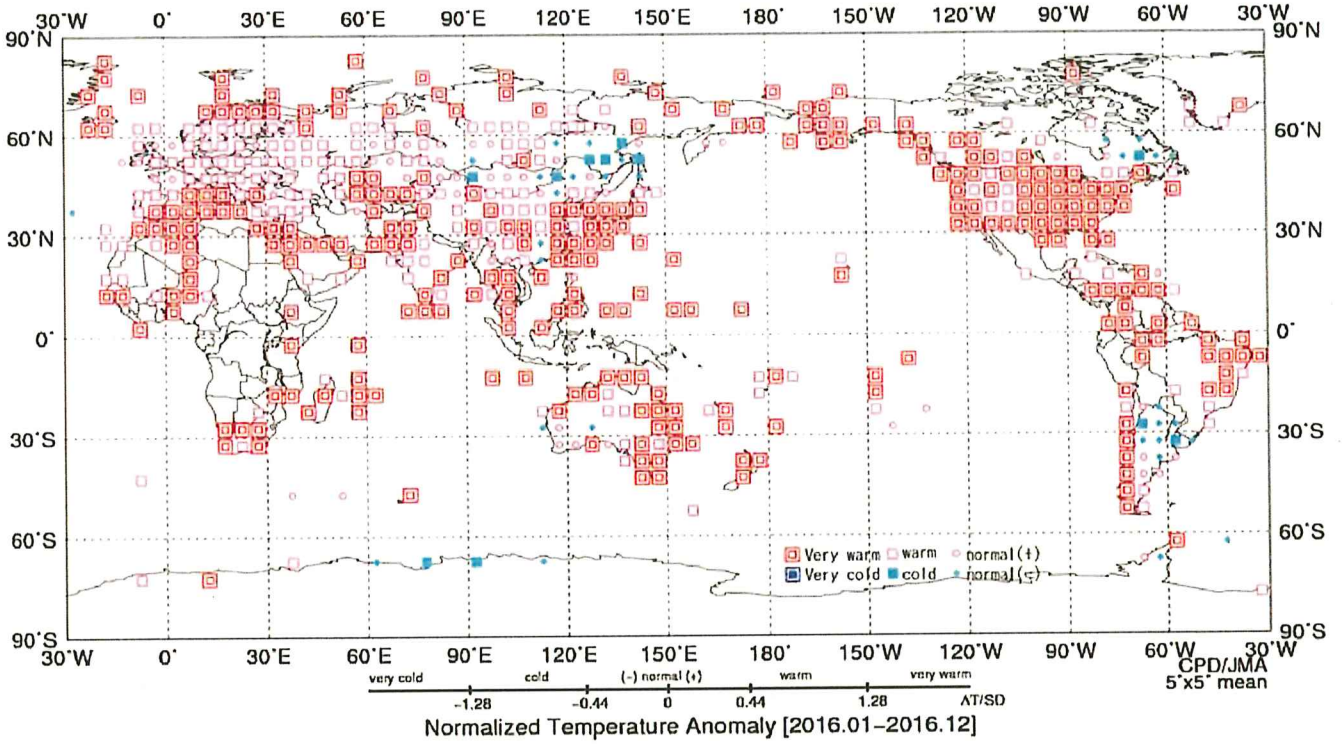
2016年に発生した主な異常気象・気象災害は以下のとおり。気象災害の記述は米国国際開発庁海外災害援助局とルーベンカトリック大学災害疫学研究所（ベルギー）の災害データベース（EM-DAT）や各国の政府機関・国連の発表等に基づき、人的被害や経済的損失の大きさ、地理的広がりを考慮して取り上げている。

1	大雨(8~9月)	北朝鮮北東部	<ul style="list-style-type: none"> <li>北朝鮮北東部では、8月末~9月初めにかけて、台風第10号から変わった低気圧の影響を受け、大雨及び洪水により130人以上が死亡したと伝えられた（国連人道問題調整事務所）。</li> </ul>
2	低温(1、10~11月)	モンゴル東部及びその周辺	<ul style="list-style-type: none"> <li>モンゴル東部及びその周辺では、1、10~11月に異常低温となった。</li> <li>モンゴル東部のバレンウルト：1月の月平均気温-26.7℃（平年差-5.8℃）。</li> <li>中央シベリア南部のキライ：10~11月の2か月平均気温-11.3℃（平年差-6.1℃）。</li> </ul>
3	大雨(4~7月)	中国	<ul style="list-style-type: none"> <li>中国では、4~7月にかけて南東部から南部を中心にたびたび大雨に見舞われ、長江流域の大雨、台風第1号による大雨、チアンスー（江蘇）省での竜巻の影響により、合計で490人以上が死亡したと伝えられた。また、北部では7月の大雨により160人以上が死亡したと伝えられた（中国政府）。</li> <li>中国のコワントン（広東）省コワンチョウ（広州）：4~6月の3か月降水量1074mm（平年比135%）。</li> <li>中国のフーベイ（湖北）省ウーハン（武漢）：6~7月の2か月降水量1036mm（平年比225%）。</li> <li>中国のベキン（北京）：7月の月降水量361mm（平年比225%）。</li> </ul>
4	高温(4~6、10、12月)	九州南部から中国南東部	<ul style="list-style-type: none"> <li>九州南部から中国南東部では、4~6、10、12月に異常高温となった。</li> <li>沖縄県の石垣島：4~6月の3か月平均気温27.4℃（平年差+1.8℃）。</li> <li>沖縄県の那覇：10月の月平均気温27.7℃（平年差+2.5℃）。</li> <li>沖縄県の石垣島：12月の月平均気温22.0℃（平年差+1.9℃）。</li> <li>沖縄県の石垣島では、5、6、10月の月平均気温の高い方から1位の値を更新し、沖縄地方の5、10、12月の月平均気温は、それぞれの月として統計を開始した1946年以降で最も高かった。</li> </ul>
5	高温(1~5、7~11月)	東南アジア	<ul style="list-style-type: none"> <li>東南アジア各地では、1~5、7~11月に異常高温となった。</li> <li>マレーシアのミリ（カリマンタン島）：1~5月の5か月平均気温28.2℃（平年差+1.2℃）。</li> <li>タイ北西部のチェンマイ：3~5月の3か月平均気温31.0℃（平年差+2.6℃）。</li> <li>インドネシアのスマラン（ジャワ島）：7~8月の2か月平均気温28.8℃（平年差+1.1℃）。</li> <li>ラオスのピエンチャン：9~11月の3か月平均気温27.7℃（平年差+1.1℃）。</li> <li>マレーシアのクアラランブール：9~11月の3か月平均気温28.1℃（平年差+1.1℃）。</li> </ul>

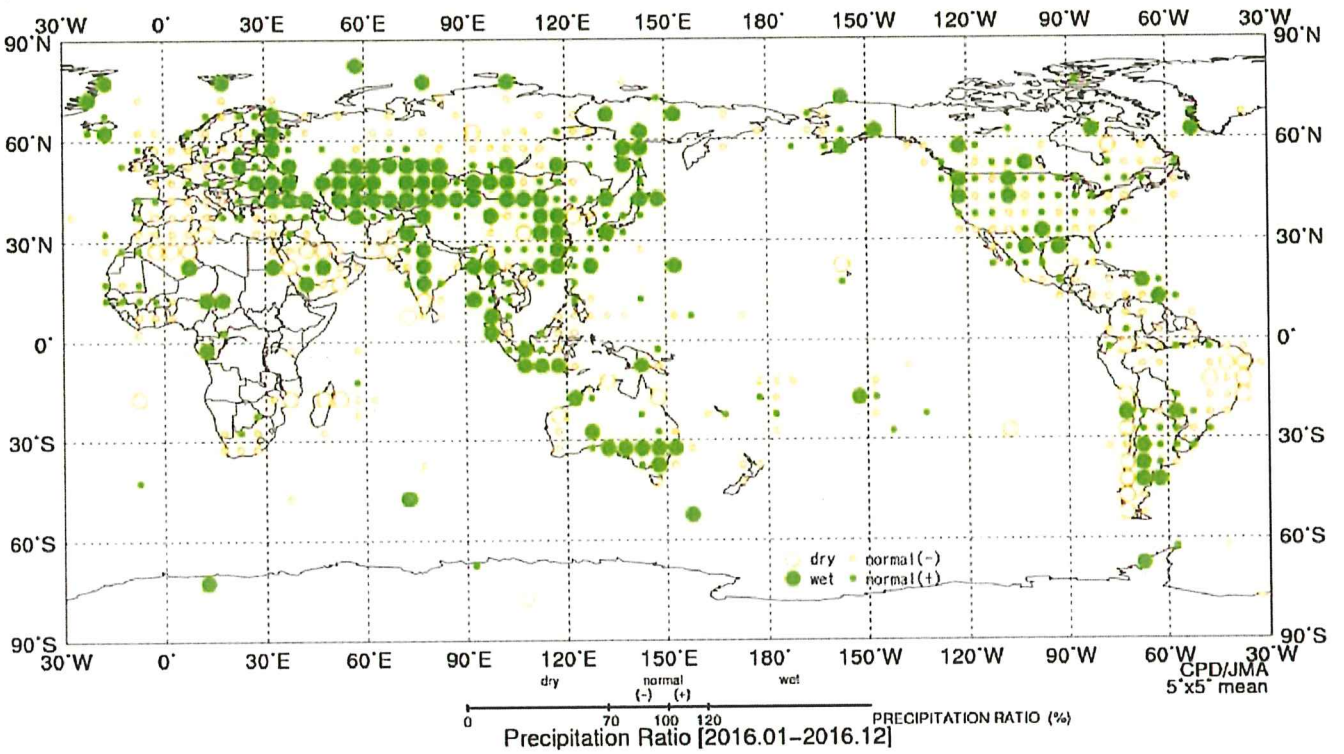
6	干ばつ(1~5月)	東南アジア	<ul style="list-style-type: none"> <li>シンガポールの1、4月の月平均気温は、それぞれの月として1929年以降で最も高かった(シンガポール気象局)。</li> <li>東南アジア各地では、昨年頃から続く少雨によって1~5月に干ばつとなったと伝えられた。</li> <li>ベトナムでは、ここ90年間で最悪の干ばつ(国際連合食糧農業機関)となり、メコンデルタでは河川水位の低下による海水遡上によって塩害が広がり流域行政機関から非常事態が宣言された(駐ベトナム国連カントリーチームのレポート)。</li> <li>インドネシアやマレーシアでは、森林火災の増加(米国防空宇宙局)のほか、稲作に深刻な被害が発生したと伝えられた。</li> </ul>
7	トロピカル・ストーム(5月)	スリランカ、インド北東部、バングラデシュ	<ul style="list-style-type: none"> <li>トロピカル・ストーム「ROANU」の影響による大雨により、5月中旬にスリランカで100人以上(スリランカ政府)、インド北東部で10人以上(インド政府)、バングラデシュで20人以上(欧州委員会)が死亡したと伝えられた。</li> <li>スリランカ西部のコロンボ:5月の月降水量752mm(平年比243%)。</li> </ul>
8	高温(1~4、7~8、10、12月)	インド南部からスリランカ	<ul style="list-style-type: none"> <li>インド南部からスリランカでは、1~4、7~8、10、12月に異常高温となった。</li> <li>インド南部のコジコーデ:1~4月の4か月平均気温31.4℃(平年差+2.6℃)。</li> <li>インド南部のティルバナタプーラム:7~8月の2か月平均気温27.9℃(平年差+1.1℃)。</li> <li>スリランカ南西部のコロンボ:10月の月平均気温28.4℃(平年差+1.1℃)。</li> <li>インド南部のコジコーデ:12月の月平均気温28.9℃(平年差+1.4℃)。</li> </ul>
9	熱波(3~5月)・大雨(7~10月)	インド	<ul style="list-style-type: none"> <li>インドでは、3~5月に熱波に見舞われ、東部から南東部で合計で580人以上が死亡したと伝えられた(インド政府、欧州委員会)。</li> <li>インドでは、7~10月のモンスーン期間中の大雨や洪水により、北部や中部を中心に940人以上が死亡したと伝えられた(インド政府、インドビハール州政府)。</li> <li>インド北部のサガル:7~8月の2か月降水量1270mm(平年比200%)。</li> <li>インド中部のハイデラーバード:9~10月の2か月降水量477mm(平年比192%)。</li> </ul>
10	大雨(7~8月)	パキスタン	<ul style="list-style-type: none"> <li>パキスタンでは、7~8月に北部を中心に大雨により合計で230人以上が死亡したと伝えられた(パキスタン政府)。</li> </ul>
11	大雨(3~4月)	パキスタン北部からアフガニスタン	<ul style="list-style-type: none"> <li>パキスタン北部からアフガニスタンでは、3~4月に大雨により合計で290人以上が死亡したと伝えられた(パキスタン政府、欧州委員会)。</li> <li>パキスタン北部のバラチナル:3~4月の2か月降水量636mm(平年比364%)。</li> </ul>
12	高温(2、4~7、9月)	中央シベリア北部からスバルバル諸島	<ul style="list-style-type: none"> <li>中央シベリア北部からスバルバル諸島では、2、4~7、9月に異常高温となった。</li> <li>ノルウェー北部のスバルバル諸島:2月の月平均気温-5.6℃(平年差+8.0℃)。</li> <li>ロシア北西部のマルイエカルマクレイ(ノヴァヤゼムリヤ):4~7月の4か月平均気温3.5℃(平年差+4.9℃)。</li> <li>西シベリア北東部のディクソン:9月の月平均気温7.2℃(平年差+5.5℃)。</li> <li>ロシアの月平均気温は、9月としては1891年以降で最も高かった(ロシア水文気象局)。</li> </ul>
13	多雨(2~3、5~6、10月)	ヨーロッパ南東部	<ul style="list-style-type: none"> <li>ヨーロッパ南東部では、2~3、5~6、10月に異常多雨となった。</li> <li>オーストリア南部のクラゲンフルト:2月の月降水量126mm(平年比407%)</li> <li>イタリア中部のテルモリ:3月の月降水量58mm(平年比236%)。</li> <li>オーストリア西部のザルツブルク:5~6月の2か月間降水量738mm(平年比269%)。</li> <li>ルーマニアのブカレスト:10月の月降水量128mm(平年比259%)。</li> </ul>
14	少雨(7~8、10、12月)	フランス南西部からスペイン北東部	<ul style="list-style-type: none"> <li>フランス南西部からスペイン北東部では、7~8、10、12月に異常少雨となった。</li> <li>フランス南西部のグールドン:7~8月の2か月間降水量13mm(平年比10%)。</li> <li>フランス南西部のポルドー・メリニャック:10月の月降水量12mm(平年比13%)。</li> <li>スペイン北東部のパンブロナ:12月の月降水量2mm(平年比3%)。</li> <li>フランスの7~8月の2か月降水量、12月の月降水量は、1959年以降で最も少なかった(フランス気象局)。</li> </ul>
15	高温(1~2、10月)	アルジェリア北部及びその周辺	<ul style="list-style-type: none"> <li>アルジェリア北部及びその周辺では、1~2、10月に異常高温となった。</li> <li>チュニジア北部のカイルアン:1~2月の2か月平均気温15.5℃(平年差+3.1℃)。</li> <li>アルジェリア北部のベジャイア空港:10月の月平均気温22.3℃(平年差+2.4℃)。</li> </ul>
16	高温(3、5~7月)	サウジアラビア北東部から紅海南部沿岸	<ul style="list-style-type: none"> <li>サウジアラビア北東部から紅海南部沿岸では、3、5~7月に異常高温となった。</li> <li>サウジアラビア西部のメッカ:3月の月平均気温31.5℃(平年差+4.1℃)。</li> <li>サウジアラビア北西部のワジュ:5~7月の3か月平均気温30.8℃(平年差+2.4℃)。</li> </ul>
17	高温(4~6、8~12月)	西アフリカ西部から中部アフリカ北西部	<ul style="list-style-type: none"> <li>西アフリカ西部から中部アフリカ北西部では、4~6、8~12月に異常高温となった。</li> <li>マリ西部のキータ:4~6月の3か月平均気温33.4℃(平年差+1.8℃)。</li> <li>コンゴ共和国北部のウェッソ:8~12月の5か月平均気温25.5℃(平年差+0.9℃)。</li> </ul>
18	高温(1~4、10月)	セーシェルから南アフリカ北東部	<ul style="list-style-type: none"> <li>セーシェルから南アフリカ北東部では、1~4、10月に異常高温となった。</li> <li>モーリシャスのロドリゲス島:1~4月の4か月平均気温28.0℃(平年差+1.4℃)。</li> <li>モザンビークのマプート:10月の月平均気温24.2℃(平年差+1.5℃)。</li> </ul>
19	高温(4~8、10月)	東シベリア東部からカナダ西部沿岸	<ul style="list-style-type: none"> <li>東シベリア東部からカナダ西部沿岸では、4~8、10月に異常高温となった。</li> <li>米国のアラスカ州キングサモン:4~8月の5か月平均気温11.8℃(平年差+2.9℃)。</li> <li>東シベリア東部のアナディリ:10月の月平均気温2.8℃(平年差+7.4℃)。</li> </ul>

			<ul style="list-style-type: none"> <li>米国アラスカ州の4～8月の5か月平均気温は、1925年以降で2番目に高かった（米国海洋大気庁）。</li> </ul>
20	多雨(3～4、7～8月)	米国中西部から南部	<ul style="list-style-type: none"> <li>米国中西部から南部では、3～4、7～8月に異常多雨となった。</li> <li>米国のイリノイ州スプリングフィールド：3月の月降水量142mm（平年比225%）。</li> <li>テキサス州サンアントニオ：4月の月降水量157mm（平年比295%）。</li> <li>ミズーリ州セントルイス：7～8月の2か月降水量360mm（平年比210%）。</li> <li>米国本土の月降水量は、8月としては1895年以降で2番目に多かった（米国海洋大気庁）。</li> </ul>
21	高温(3、6～10月)	米国東部から南部	<ul style="list-style-type: none"> <li>米国東部から南部では、3、6～10月に異常高温となった。</li> <li>米国のバージニア州ワシントン・ナショナル空港：3月の月平均気温12.0℃（平年差+3.8℃）。</li> <li>ミシシッピ州メリディアン：6～10月の5か月平均気温27.3℃（平年差+2.7℃）。</li> <li>米国本土の3、6、10月の月平均気温は、それぞれの月として1895年以降で4、1、3番目に高かった（米国海洋大気庁）。</li> </ul>
22	高温(2～3、10～12月)	米国西部からメキシコ北西部	<ul style="list-style-type: none"> <li>米国西部からメキシコ北西部では、2～3、10～12月に異常高温となった。</li> <li>メキシコ北西部のシウダーコンスティチュシオン：2～3月の2か月平均気温21.6℃（平年差+3.3℃）。</li> <li>米国のテキサス州エルパソ：10～12月の3か月平均気温15.2℃（平年差+2.7℃）。</li> <li>メキシコ西部のデビク：10～12月の3か月平均気温22.8℃（平年差+2.1℃）。</li> <li>米国本土の11月の月平均気温及び月平均最高気温は、1895年以降で2番目に高く、月平均最低気温は最も高かった（米国海洋大気庁）。</li> </ul>
23	ハリケーン(10月)	ハイチ、米国南東部	<ul style="list-style-type: none"> <li>ハリケーン「MATTHEW」により、ハイチでは540人以上（国連人道問題調整事務所）、米国南東部では40人以上（米国政府）が死亡したと伝えられた。</li> </ul>
24	高温(1～8、10月)	メキシコ南部からコロンビア	<ul style="list-style-type: none"> <li>メキシコ南部からコロンビアでは、1～8、10月に異常高温となった。</li> <li>コロンビア北西部のベレイラ：1～6月の6か月平均気温23.4℃（平年差+1.5℃）。</li> <li>メキシコ南部のコミタンデドミンゲス：7～8月の2か月平均気温19.9℃（平年差+0.7℃）。</li> <li>コロンビアのボゴタ：10月の月平均気温14.2℃（平年差+0.9℃）。</li> </ul>
25	高温(2～8月)・少雨(2～5月)	ブラジル東部	<ul style="list-style-type: none"> <li>ブラジル東部では、2～8月に異常高温、2～5月に異常少雨となった。</li> <li>ブラジル東部のパラドコルダ：2～8月の7か月平均気温28.1℃（平年差+2.3℃）。</li> <li>ブラジル東部のピトリアダコンキスタ：2～5月の4か月降水量32mm（平年比9%）。</li> </ul>
26	高温(1～2、8～9、11月)	チリ中部及びその周辺	<ul style="list-style-type: none"> <li>チリ中部及びその周辺では、1～2、8～9、11月に異常高温となった。</li> <li>チリ中部のコンセプシオン：1～2月の月平均気温17.8℃（平年差+1.5℃）。</li> <li>アルゼンチン中部のメンドーサ空港：8月の月平均気温13.3℃（平年差+2.7℃）。</li> <li>チリ中部のサンティアゴ：9月の月平均気温13.1℃（平年差+2.0℃）。</li> <li>チリ中部のラセレナ：11月の月平均気温15.6℃（平年差+1.3℃）。</li> </ul>
27	高温(3～4、6、8月)	ミクロネシア	<ul style="list-style-type: none"> <li>ミクロネシアでは、3～4、6、8月に異常高温となった。</li> <li>ミクロネシア連邦のヤップ島：3～4月の2か月平均気温29.4℃（平年差+1.8℃）。</li> <li>ミクロネシア連邦のヤップ島：6月の月平均気温29.6℃（平年差+2.1℃）。</li> <li>ミクロネシア連邦のヤップ島：8月の月平均気温28.6℃（平年差+1.3℃）。</li> </ul>
28	高温(3～7、9、11月)	オーストラリア北部から南東部	<ul style="list-style-type: none"> <li>オーストラリア北部から南東部では、3～7、9、11月に異常高温となった。</li> <li>オーストラリア北部のダーウィン：3～6月の4か月平均気温29.3℃（平年差+2.2℃）。</li> <li>オーストラリア南東部のシドニー：3～7月の5か月平均気温18.3℃（平年差+1.8℃）。</li> <li>オーストラリア北東部のウェイバ：9月の月平均気温28.8℃（平年差+2.5℃）。</li> <li>オーストラリア北西部のブルーム：11月の月平均気温31.2℃（平年差+2.0℃）。</li> <li>オーストラリアの3～5月の3か月平均気温は、1910年以降で最も高かった（オーストラリア気象局）。</li> </ul>
29	多雨(1、6、9月)	オーストラリア南東部	<ul style="list-style-type: none"> <li>オーストラリア南東部では、1、6、9月に異常多雨となった。</li> <li>オーストラリア南東部のウィルソンズ・プロモントリー：1月の月降水量199mm（平年比346%）。</li> <li>オーストラリアのキャンベラ：6月の月降水量144mm（平年比333%）。</li> <li>オーストラリア南東部のメルボルン：9月の月降水量95mm（平年比280%）。</li> <li>オーストラリアの6、9月の月降水量は、それぞれの月として1900年以降で2番目に多かった（オーストラリア気象局）。</li> </ul>
30	高温(2、5、9月)	ニュージーランド及びその周辺	<ul style="list-style-type: none"> <li>ニュージーランド及びその周辺では、2、5、9月に異常高温となった。</li> <li>ニュージーランド南部のインバーカーギル空港：2月の月平均気温15.9℃（平年差+2.2℃）。</li> <li>ニュージーランド北東部のギズボーン：5月の月平均気温15.2℃（平年差+2.8℃）。</li> <li>オーストラリア東部のノーフォーク島：9月の月平均気温17.7℃（平年差+1.1℃）。</li> <li>ニュージーランドの2、5月の月平均気温は、それぞれの月として1909年以降で2、1番目に高かった（ニュージーランド気象局）。</li> </ul>

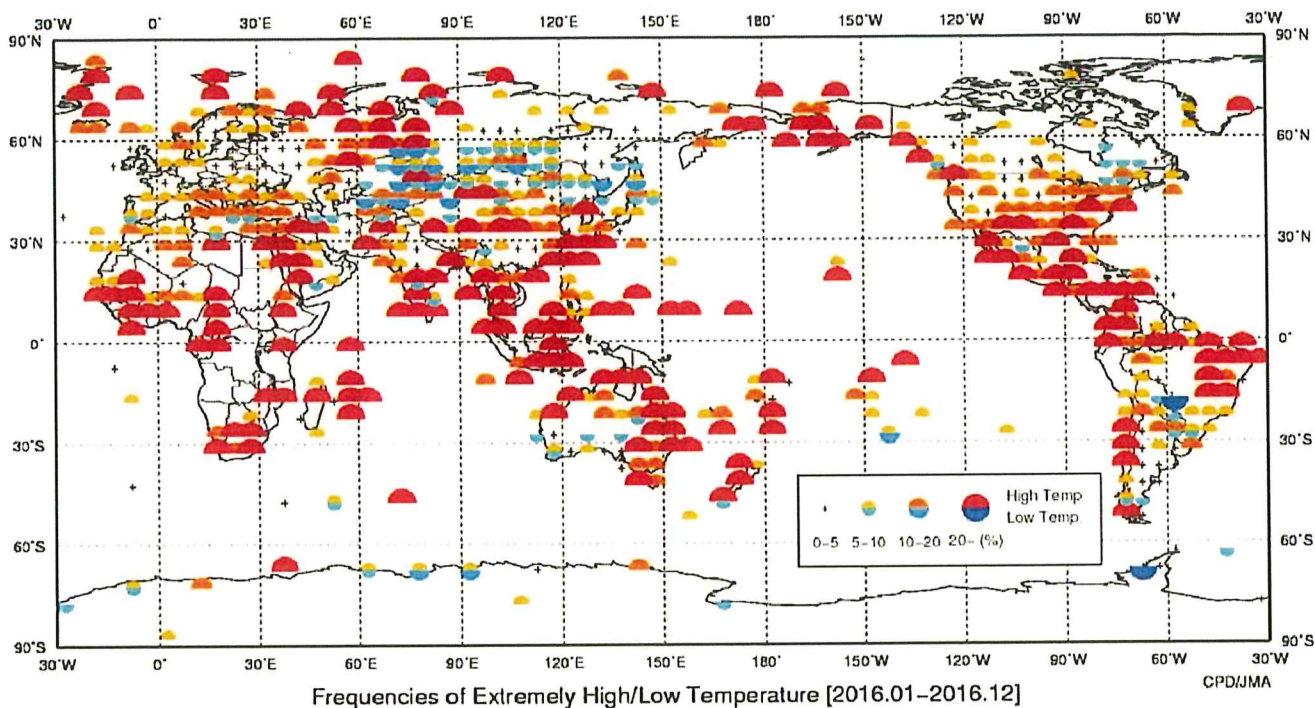
各種図表



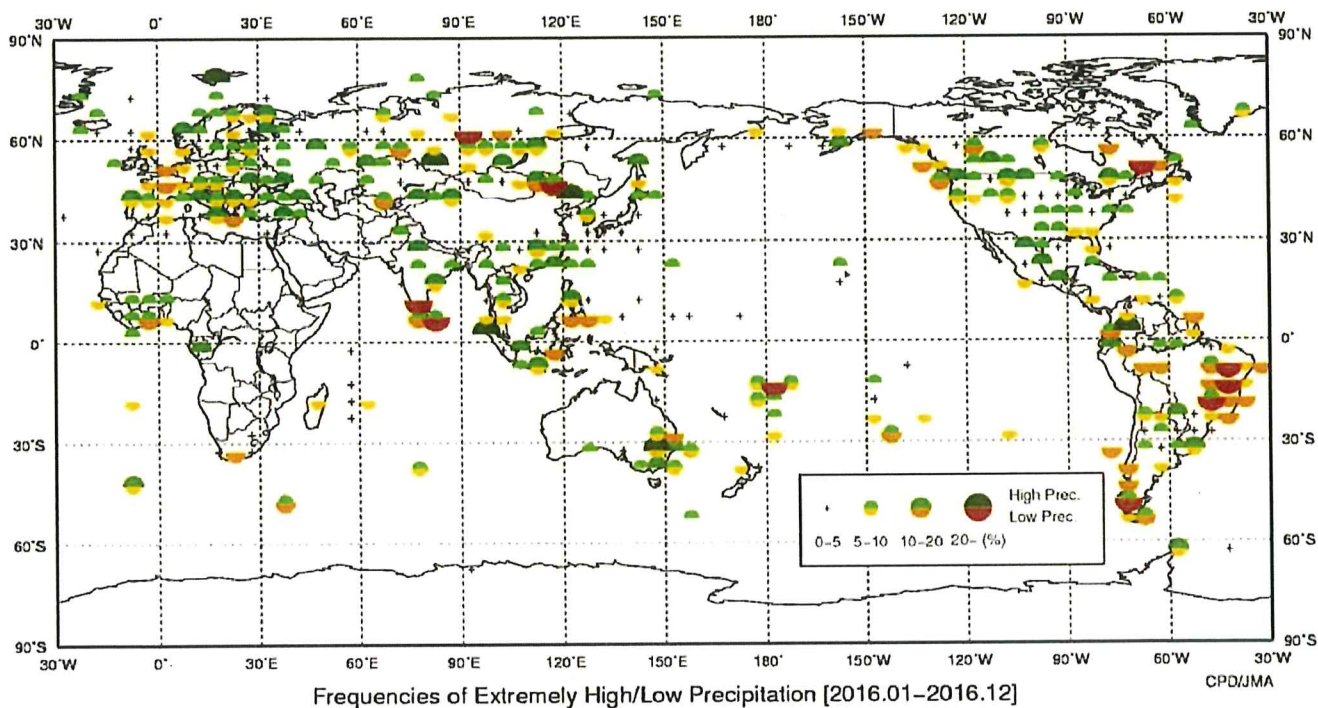
年平均気温偏差規格化階級分布図



年降水量年比階級分布図



異常高温・異常低温出現頻度分布図



異常多雨・異常少雨出現頻度分布図